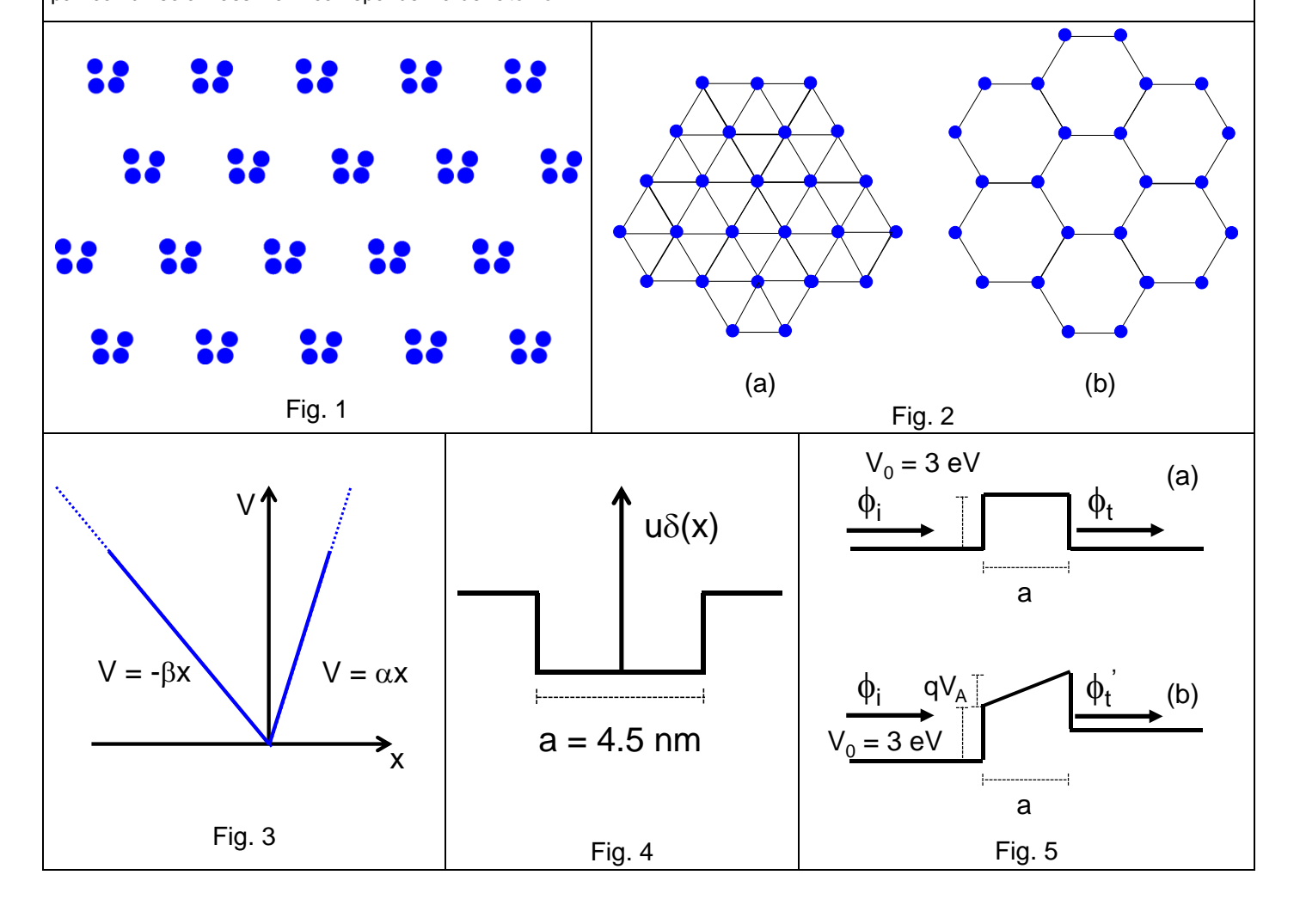
- 1. Si spieghi perché la struttura 2D in Fig. 1 non è un reticolo di Bravais, indicando il corrispondente reticolo di Bravais e la corrispondente base. Disegnare una cella unitaria primitiva e una relativa coppia di vettori primitivi. Quanti atomi per cella sono presenti? Quanti nodi reticolari? Disegnare infine la cella di Wigner-Seitz.
- 2. Determinare il fattore d'impaccamento (packing factor) del reticolo esagonale 2D e della struttura a nido d'ape in Fig. 2.
- 3. In un esperimento sull'effetto fotoelettrico, un catodo in oro (W = 5.1 eV) viene irraggiato con un laser di lunghezza d'onda  $\lambda$ . Sapendo che i fotoelettroni accelerati con una tensione di 30 V raggiungono l'anodo con una lunghezza d'onda di DeBroglie pari a  $\lambda/1000$ , determinare l'energia del fotone incidente sul catodo.
- 4. Si consideri la buca triangolare di Fig. 3. Mediante il principio di indeterminazione, si stimi l'energia del livello fondamentale ( $\alpha = 2\beta = 3.2 \text{ eV/nm}$ ). Tracciare l'andamento qualitativo della parte reale della corrispondente autofunzione.
- 5. Si consideri la doppia buca di potenziale in Fig. 4. Tracciare l'andamento qualitativo delle autofunzioni nei 2 autostati a minore energia. Sapendo che le lunghezze d'onda associate a queste 2 autofunzioni differiscono del 2%, stimare la frequenza di oscillazione dello stato non-stazionario ottenuto combinando linearmente le funzioni d'onda dei 2 autostati.
- 6. Un fascio elettronico di flusso  $\phi_i = 10^{20}$  cm<sup>-2</sup>s<sup>-1</sup> viaggia da sinistra verso la barriera di potenziale in Fig. 5a con energia E = 2 eV e flusso trasmesso  $\phi_t$ . Dopo l'applicazione di una tensione  $V_A = -1.5$  V (Fig. 5b), il flusso trasmesso  $\phi_t$ ' si riduce di un fattore 100 ( $\phi_t$ ' =  $\phi_t$ /100). Calcolare lo spessore di barriera a.
- 7. Si consideri un elettrone che supera una barriera rettangolare di spessore a = 1 nm e altezza  $V_0$ . Determinare  $V_0$ , sapendo che la minima energia per cui la trasmissione è totale è  $E = 2V_0$ .
- 8. Si consideri la relazione di dispersione  $E(k) = E_0 + \frac{E_0}{2} cos(2ka)$ , con  $E_0 = 2$  eV e a = 0.5 nm. Ponendosi nella prima zona di Brillouin, calcolare per quali intervalli di k la massa efficace m\* è positiva. Calcolare m\* nei punti di minimo e di massimo. Calcolare per quali valori di k la massa efficace è infinita.
- 9. Si consideri la relazione di dispersione dell'esercizio precedente. Si costruisca un pacchetto d'onda centrato in  $k_0 = \frac{\pi}{2a}$  con peso g(k) gaussiano di deviazione standard  $\sigma_k = 10^8$  m<sup>-1</sup>. Valutare la velocità di gruppo, la dispersione del pacchetto e la velocità di fase per i tempi t = 0, 1 ps, 1 ns.
- 10. Un elettrone in un cristallo è descritto da un'autofunzione  $\psi_k(x)$  con  $k = 3x10^9$  m<sup>-1</sup>. Sapendo che sono necessari 6 passi reticolari affinché l'autofunzione  $\psi_k(x)$  ritorni in fase, calcolare il passo reticolare a. Tracciare infine il profilo della parte reale della funzione inviluppo e il profilo della parte reale dell'autofunzione su 12 passi reticolari, sapendo che la funzione di Bloch è di tipo pari con un solo massimo in corrispondenza dell'atomo.



Solid State Electronics 6.5.2015

1. Explain why the 2D structure in Fig. 1 is not a Bravais lattice, showing the corresponding Bravais lattice and corresponding basis. Draw a unit cell and the corresponding unit vectors. How many atoms are included in one cell? How many lattice nodes? Finally, draw the Wigner-Seitz cell.

- 2. Determine the packing factor in the 2D hexagonal lattice and in the honeycomb structure in Fig. 2.
- 3. In an experiment on the photoelectric effect, a gold (Au) cathode (W = 5.1 eV) is irradiated with a laser of wavelength  $\lambda$ . Knowing that photoelectrons are accelerated with a voltage of 30 V and reach the anode with a DeBroglie wavelength  $\lambda/1000$ , calculate the energy of the laser photon irradiating the cathode.
- 4. Consider the triangular well in Fig. 3. Using the uncertainty principle, estimate the eigenvalue of the ground state ( $\alpha = 2\beta = 3.2 \text{ eV/nm}$ ). Draw the qualitative behavior of the real part of the corresponding eigenfunction.
- 5. Consider the potential double well in Fig. 4. Draw the qualitative behavior of the eigenfunctions of the 2 eigenstates with lower energy. Knowing that the wavelengths of these 2 eigenfunctions differ by 2%, estimate the oscillation frequency of the non-stationary state obtained by linear combination of the wavefunctions of the 2 eigenstates.
- 6. An electron beam with incident flux  $\phi_i = 10^{20}$  cm<sup>-2</sup>s<sup>-1</sup> travels from the left toward the potential barrier in Fig. 5a with energy E = 2 eV and transmitted flux  $\phi_t$ . After application of a voltage  $V_A = -1.5$  V (Fig. 5b), the transmitted flux  $\phi_t$ ' is reduced by a factor 100 ( $\phi_t$ ' =  $\phi_t$ /100). Calculate the barrier thickness a.
- 7. Consider an electron travelling through a rectangular potential barrier with thickness a = 1 nm and height  $V_0$ . Calculate  $V_0$ , knowing that the minimum energy for which there is total transmission is  $E = 2V_0$ .
- 8. Consider the dispersion relationship  $E(k) = E_0 + \frac{E_0}{2} cos(2ka)$ , with  $E_0 = 2$  eV and  $E_0 = 2$
- 9. Consider the dispersion relationship in the previous experiment. Build the wavepacket centered in  $k_0 = \frac{\pi}{2a}$  and a gaussian weight g(k) with standard deviation  $\sigma_k = 10^8$  m<sup>-1</sup>. Calculate the group velocity, the packet dispersion and the phase velocity at t = 0, 1 ps, 1 ns.
- 10. An electron in a crystal is described by the eigenfunction  $\psi_k(x)$  with  $k=3x10^9$  m<sup>-1</sup>. Knowing that it takes 6 lattice parameters for the eigenfunction  $\psi_k(x)$  to regain its phase, calculate the lattice parameter a. Draw the real part of the envelope function and of the eigenfunction over 12 lattice parameters, knowing that the Bloch function is even and features a single maximum in correspondence of each atom.

## Costanti fisiche:

massa dell'elettrone costante di Planck carica elettronica costante di Boltzmann velocità della luce costante dielettrica nel vuoto costante di Stephan-Boltzmann costante di Wien 
$$\begin{split} &m_0 = 9.109 \cdot 10^{-31} \, kg \\ &h = 6.626 \cdot 10^{-34} \, J \, s \\ &e = 1.602 \cdot 10^{-19} \, C \\ &k_B = 1.381 \cdot 10^{-23} \, J \, K^{-1} \\ &c = 2.998 \cdot 10^8 \, m \, s^{-1} \\ &\epsilon_0 = 8.85419 \cdot 10^{-12} \, F \, m^{-1} \\ &\sigma = 5.67 \cdot 10^{-8} \, W \, m^{-2} \, K^{-4} \\ &c_W = 2.8 \cdot 10^{-3} \, K \, m \end{split}$$